

Figures

BUR9-2001-0044-US1
Hathaway et al.
Sheet 1 of 11

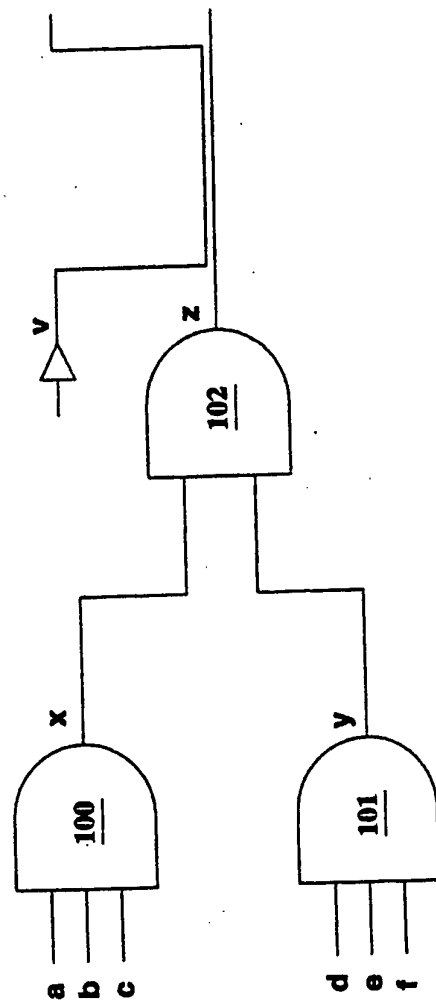


Fig. 1

BUR9-2001-0044-US1
Hathaway et al.
Sheet 2 f11

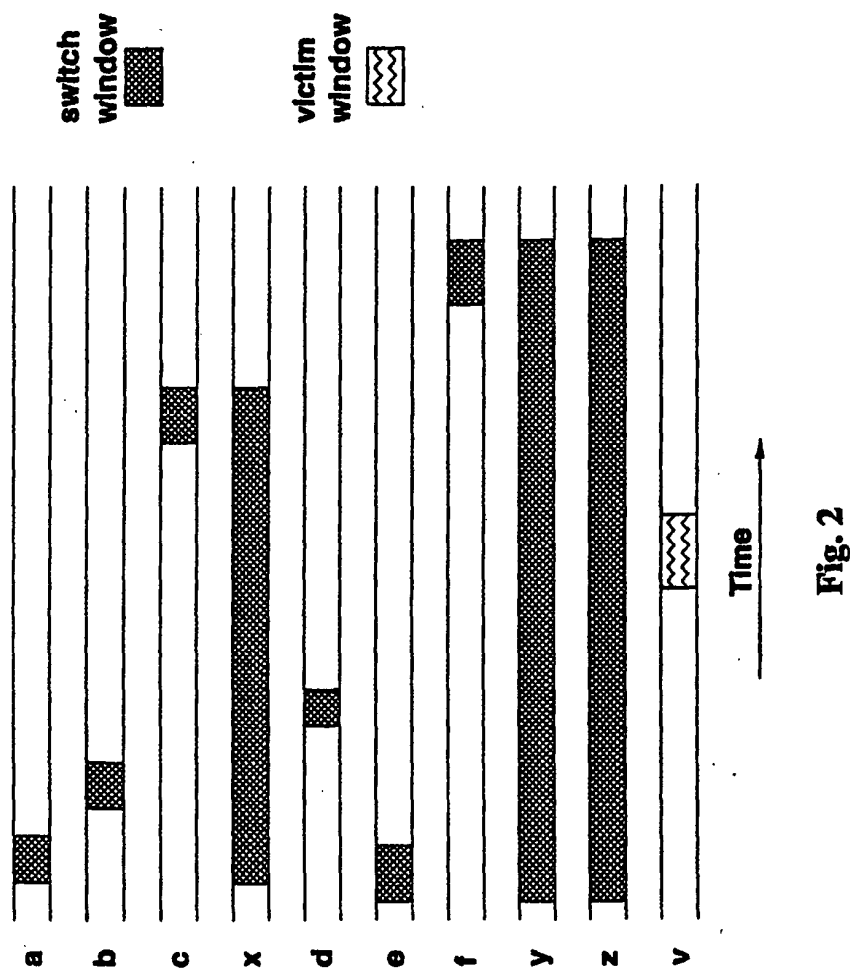


Fig. 2

BUR9-2001-0044-US1
Hathaway et al.
Sheet 3 f11



Fig. 3

BUR9-2001-0044-US1
Hathaway et al.
Sheet 4 of 11

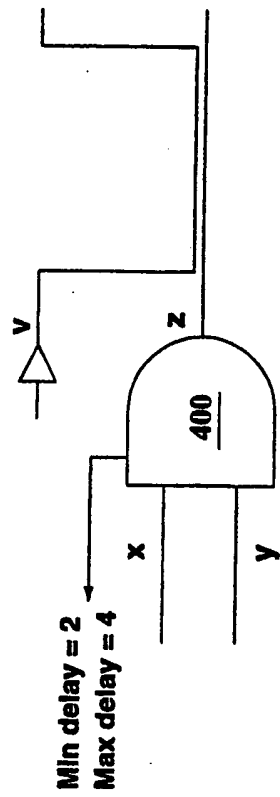


Fig. 4

BUR9-2001-0044-US1
Hathaway et al.
Sheet 5 of 11

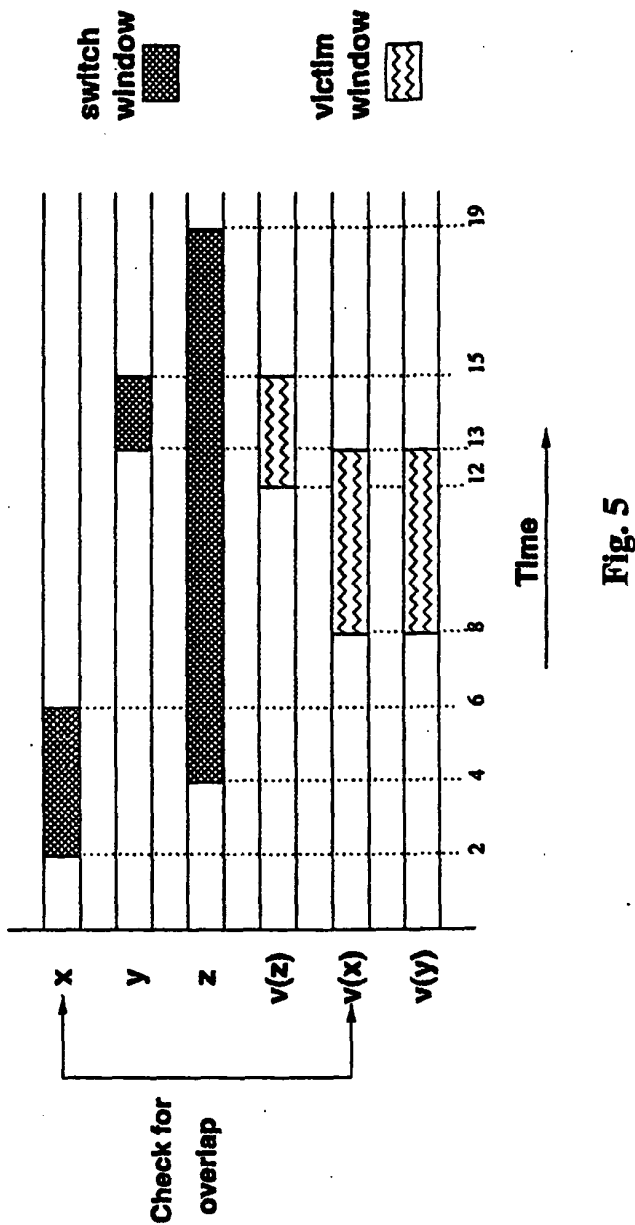


Fig. 5

BUR9-2001-0044-US1

Hathaway et al.

Sheet 6 of 11

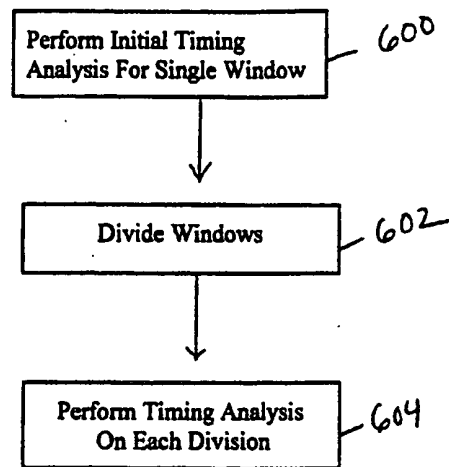


Fig. 6

BUR9-2001-0044-US1
Hathaway et al.
Sheet 7 f11

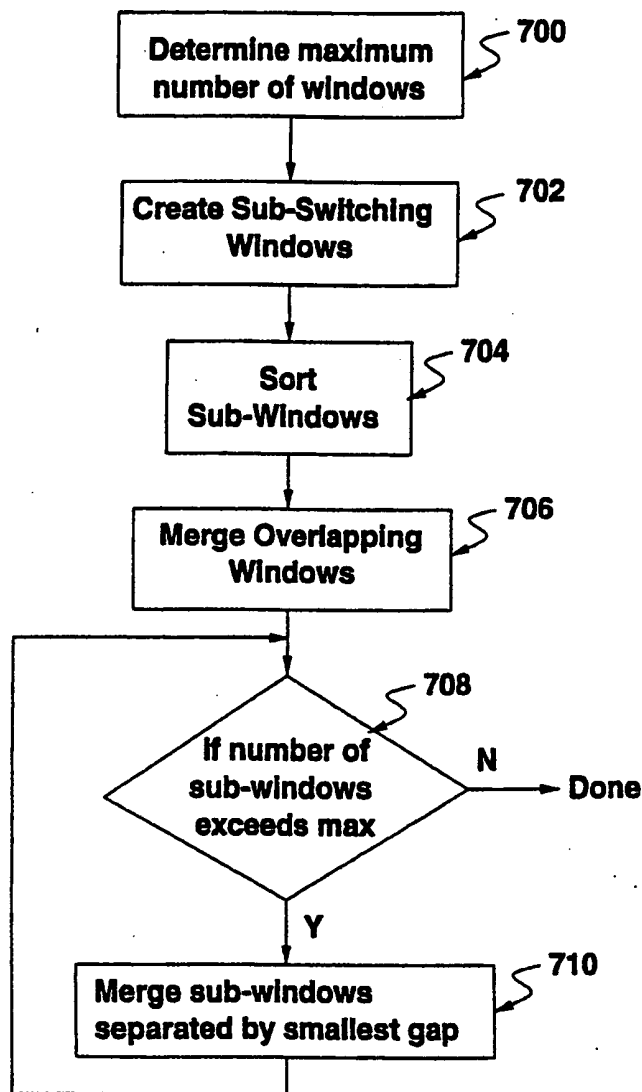


Fig. 7

BUR9-2001-0044-US1
Hathaway et al.
Sheet 8 of 11

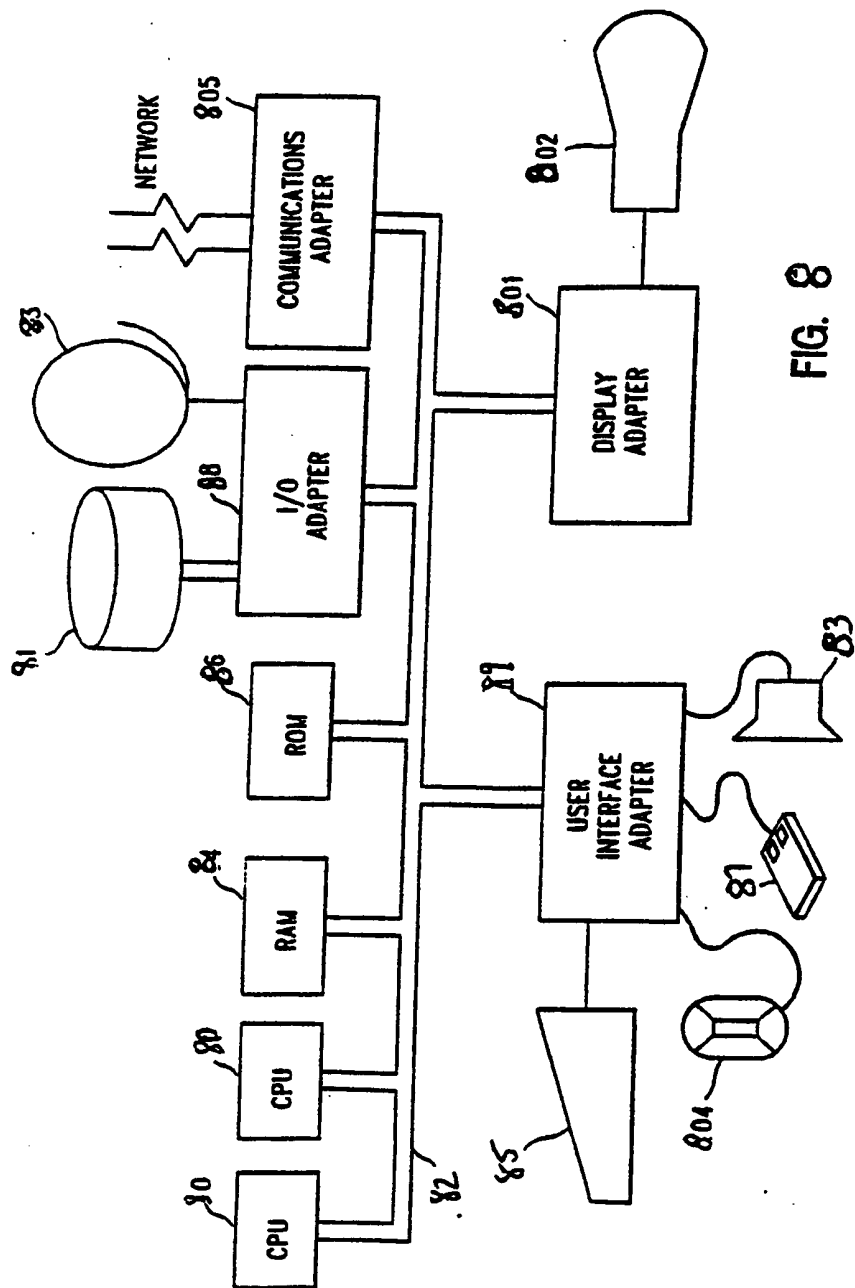


FIG. 8

BUR9-2001-0044-US1
Hathaway et al.
Sheet 9 of 11

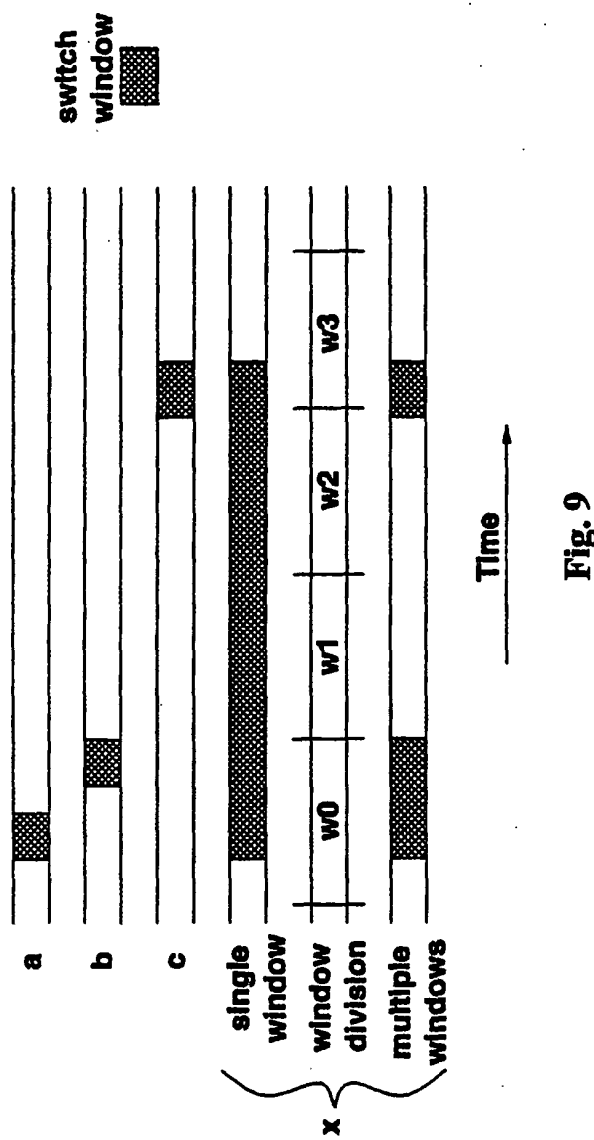


Fig. 9

BUR9-2001-0044-US1

Hathaway et al.
Sheet 10 of 11

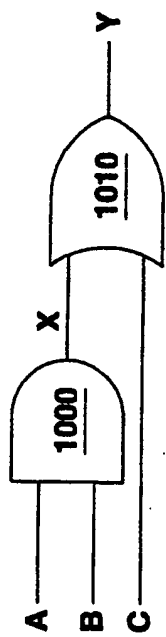


Fig. 10

BUR9-2001-0044-US1

Hathaway et al.
Sheet 11 of 11

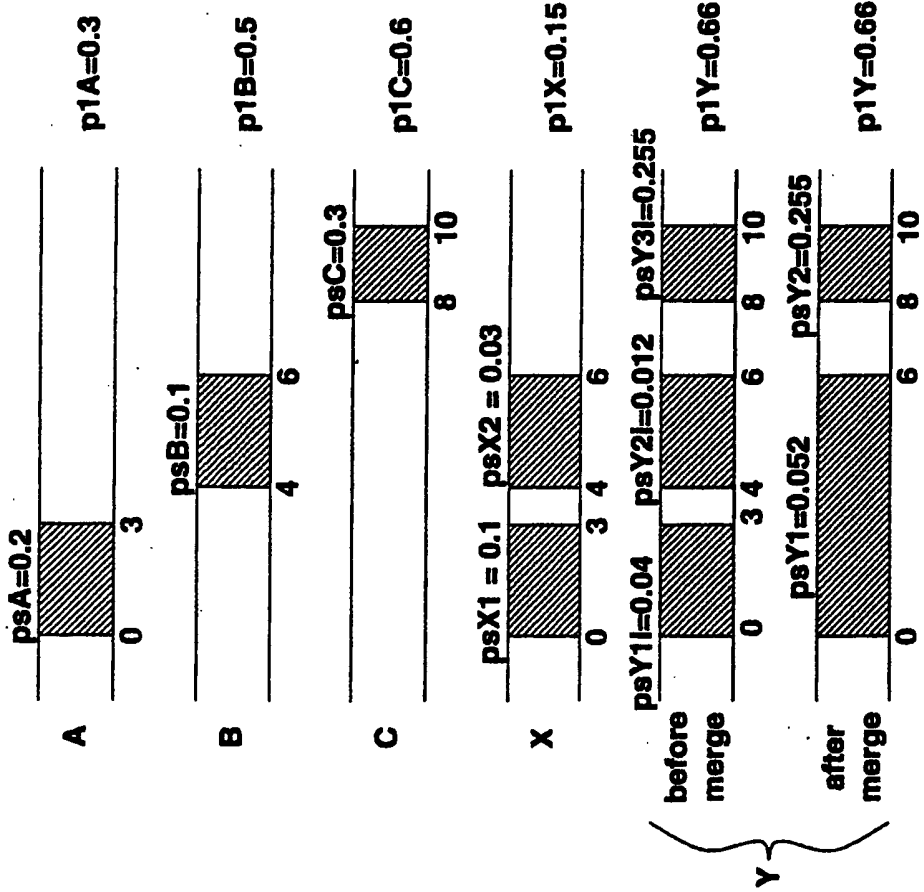


Fig. 11